

ارائه روشی جدید برای شناسایی کور کدهای توربو ضربی سه بعدی با استفاده از ترکیب روش های بزرگ ترین مقسوم علیه مشترک و مرتبه ماتریس

هومان اکبرزاده خشکه رود*^۱، حمیدرضا خدادادی^۲، سید علی حسینی^۳، رضا اصفهانی^۴

۱. استادیار دانشکده جنگال، دانشگاه علوم و فنون هوایی شهید ستاری، تهران، ایران.

۲. دانشیار دانشکده مهندسی برق، جنگ الکترونیک و سایبری دانشگاه جامع امام حسین(ع)، تهران، ایران.

۳. دانشجوی دکتری دانشکده مهندسی برق، جنگ الکترونیک و سایبری دانشگاه جامع امام حسین(ع)، تهران، ایران.

۴. استادیار دانشکده مهندسی برق و کامپیوتر دانشگاه جامع امام حسین(ع)، تهران، ایران.

تاریخ دریافت:

۴ تیر ماه ۱۴۰۳

تاریخ پذیرش:

۲۱ آذر ماه ۱۴۰۳

چکیده

در این مقاله کدهای توربو ضربی سه بعدی و تشریح چگونگی عملکرد آن ها و سپس روش های شناسایی کور این کدها بررسی گردیده است. تاکنون روش های مختلفی برای شناسایی کور کدهای بلوکی ارائه گردیده اما برای شناسایی کور کدهای توربو ضربی سه بعدی روشی ارائه نشده است. با توجه به اینکه کدهای توربو ضربی از ترکیب کدهای بلوکی ساخته شده اند، روشی نو بر مبنای روش های شناسایی کور کدهای بلوکی، جهت شناسایی کور کدهای توربو ضربی ارائه گردیده است. با توجه به اینکه کدهای توربو ضربی سه بعدی از ترکیب سه کد بلوکی و دو جایگردان ماتریسی تشکیل شده اند، به بررسی روش های جاری شناسایی کور کدهای بلوکی، جایگردان ماتریسی و استفاده از آن ها در تشخیص کدهای توربو ضربی پرداخته شده و به همین منظور از دو روش شناسایی کور GCD و مرتبه ماتریس برای شناسایی کور کدگذاری کانال استفاده شده است. اکثر روش های شناسایی کور پارامترهای توربو کدهای ضربی بر اساس روش GCD در کانال بدون تأخیر هستند. در این مقاله روش شناسایی کور توربو کدهای ضربی به وسیله شناسایی جایگردان ارائه شده و در ادامه با فرض تأخیر کانال به وسیله روش RREF، مقدار تأخیر تخمین زده و پس حذف آن، از روش GCD استفاده شده است. نتایج تحلیل و شبیه سازی بر اساس GCD و RREF ارائه شده و نتایج ارزیابی نشان می دهد الگوریتم GCD می تواند به صورت صحیح به شناسایی کد توربو ضربی با احتمال خطای 10^{-7} و کمتر از آن اقدام نماید و در نتیجه عملکرد این الگوریتم بر اساس BER نشان داده شده بسیار مطلوب است و به کارگیری این الگوریتم در سامانه های عملی و بلادرنگ مناسب است.

واژه های کلیدی: کد بلوکی، کد توربو ضربی سه بعدی، جایگردان، شناسایی کور.

Presenting a New Method in Blind Recognition of Three Dimension TPC (Turbo Product Codes) with GCD (Great Common Divisor) Method

Houman Akbarzade*¹, Hamidreza Khodadadi², Seyed Ali Hosseini³, Reza Esfahani⁴

1. Assistant Professor, Faculty of Electronic Warfare, Shahid Sattari University of aeronautical Sciences and Technology, Tehran, Iran.

2. Associate Professor, Faculty of Electrical Engineering, Imam Hossein University, Tehran, Iran.

3. PhD Candidate, Electrical Engineering Faculty, Imam Hossein University, Tehran, Iran.

4. Assistant Professor, Faculty of Computer Engineering, Imam Hossein University, Tehran, Iran.

Abstract

This article investigates three-dimensional multiplicative turbo codes, their functionality, and blind identification methods. Although various methods have been proposed for the blind identification of block codes, no method has been proposed for the blind identification of 3D multiplicative turbo codes. To address this issue, a new method based on the blind recognition methods of block codes has been presented. Since 3D multiplicative turbo codes are composed of three block codes and two matrix displacements, this study investigates current methods of blind recognition of block codes, matrix displacements, and their use in diagnosing turbo-multiplicative codes. For this purpose, two GCD blind identification methods have been examined, and the matrix order has been used for blind identification of channel coding. Most blind identification methods of multiplicative turbo code parameters are based on the GCD method in the channel without delay. In this article, the method of blind recognition of multiplicative turbo codes is presented. Then, assuming channel delay by the RREF method, the amount of delay is estimated and, after its removal, the GCD method is used. The analysis and simulation results based on GCD and RREF are presented, and the evaluation results show that the GCD algorithm can correctly identify the multiplicative turbo code with an error probability of 10^{-7} or less. Therefore, the performance of this algorithm based on BER is very favorable, and its use in practical and real-time systems is appropriate

Key words: Block code 3-D multiplicative turbo code; displacement; blind recognition.

پیشنهادی برای شناسایی توربو کدهای ضربی سه‌بعدی ارائه شده و در بخش ۶ به مقایسه روش پیشنهادی با سایر روش‌ها پرداخته خواهد شد.

۲- روش‌های شناسایی کور کدهای بلوکی

برخی از روش‌های شناسایی وجود دارند که فقط به بررسی استفاده از کدهای تصحیح خطا در سامانه‌های مخابراتی می‌پردازند [۱۱]. این روش‌ها به این سؤال که آیا از کدهای تصحیح خطا در رشته بیت دریافتی استفاده شده است یا نه پاسخ می‌دهند. این روش‌ها عموماً با مقایسه مشاهدات جمع‌آوری شده با یک سطح آستانه به تعیین استفاده از کدهای تصحیح خطا می‌پردازند. در این روش‌ها از تخمین حداکثر احتمال استفاده می‌شود؛ یعنی با تعیین حداکثر احتمال و مقایسه آن با سطح آستانه نتیجه‌گیری می‌کنند که از کدهای تشخیص خطا استفاده شده است یا خیر؛ تا سطح آستانه را از روی مشاهدات جمع‌آوری شده تعیین می‌کنند [۱۲].

از روش‌های مذکور، برخی برای شناسایی هر دو نوع کد بلوکی و کانولوشنال^۵ و جایگردان استفاده شده و برخی دیگر فقط برای شناسایی کدهای بلوکی به کارگیری می‌شوند. با توجه به این که کدهای توربو ضربی از خانواده کدهای بلوکی هستند و نیز دارای خواص جبری کد-های مذکور می‌باشند، لذا می‌توان کارایی روش‌های شناسایی را که برای کدهای بلوکی خطی کاربرد دارند، بر روی کدهای توربو ضربی نیز بررسی نمود [۱۳]. روش‌هایی که برای شناسایی کدهای توربو ضربی به کار می‌روند باید بتوانند ساختار و مشخصات کلی را به دست آورند به همین دلیل روش‌هایی به کار گرفته شده است که بتوانند ساختار و یا مشخصات کدها را استخراج کنند که در ادامه به بررسی این روش‌ها به‌اجمال پرداخته خواهد شد.

۲-۱- همبستگی

همبستگی متقابل^۶ میزان شباهت بین دو سیگنال را محاسبه می‌کند و خودهمبستگی، همبستگی متقابل یک سیگنال با خودش است. به‌طور غیررسمی خودهمبستگی، همسانی بین مشاهدات به‌عنوان تابعی از زمان جدایی بین آن‌ها است. این مفهوم، یک ابزار ریاضی برای یافتن الگوهای تکراری مانند حضور یک سیگنال تناوبی است که تحت نویز پوشانده شده است [۱۴].

برای دو فرایند تصادفی و ایستان، x_n و y_n همبستگی متقابل به‌صورت رابطه ۱ تعریف می‌شود:

$$R_{xy}(m) = E\{x_{n+m} y_n^*\} = E\{x_n y_{n-m}^*\} \quad (1)$$

که در این رابطه $R_{xy}(m)$ تابع همبستگی متقابل سیگنال‌های x_n و y_n^* است. این محاسبه کمک به شناسایی هم‌زمان‌سازها می‌کند.

با شناسایی کور کدهای کانال، از روی بیت‌های شنود شده بر روی کانال، می‌تواند به محتوای اطلاعات موجود در آن‌ها دست‌یافت [۱]. بر روی بیت‌های اطلاعات قبل از ارسال در کانال، پردازش‌های متعددی اعمال می‌شود که یکی از آن‌ها اضافه کردن بیت‌های بررسی برای مقابله با نویز کانال است [۲]. از این‌رو محققین به ارائه راه‌کارهای مختلفی جهت شناسایی کدینگ‌های مورداستفاده در ارتباطات نموده‌اند که این شناسایی‌ها بر اساس شناسایی کور است [۳]. این بدین معناست که هیچ‌گونه اطلاعاتی از ساختار و نوع کدها در دسترس نیست [۴]. روش‌های شناسایی برای کدهای بلوکی را عموماً می‌توان به دودسته کلی تقسیم کرد که در دسته اول فقط مشخصات کلی (مانند طول کلمه کد و طول پیام) کدها را به‌دست آورد [۵]. و در دسته دوم علاوه بر مشخصات کلی کد، ساختار کد (چندجمله‌ای مولد) را نیز مشخص می‌کند [۶]. البته به‌غیر از این دو روش کلی برخی از روش‌های شناسایی وجود دارند که فقط به بررسی استفاده از کدهای تصحیح خطا در سامانه‌های مخابراتی می‌پردازند [۷-۸]. با توجه به اهمیت و کاربردهای فراوان توربو کدهای ضربی در ارتباطات نظامی و شناسایی کور این نوع کدها در یک سامانه شنود، تاکنون اغلب روش‌ها به دلیل شناسایی هم‌زمان بر روی دو بعد، زمان و پیچیدگی بیشتری صرف شناسایی می‌شود و فرض بدون تأخیر بودن کانال شناسایی را انجام می‌دهند [۹]. اغلب شناسایی را بر روی یک توربو کد ضربی مربعی انجام داده و تک بعد آن را شناسایی می‌نمایند [۱۰]. در مورد شناسایی کور توربو کدهای سه‌بعدی روشی مطرح نشده است. با توجه به اینکه توربو کدهای ضربی سه‌بعدی از ترکیب سه کد بلوکی و دو جایگردان ساخته می‌شوند، از روش‌هایی که برای شناسایی کدهای بلوکی و جایگردان استفاده می‌شود، برای شناسایی پارامترهای توربو کدهای ضربی سه‌بعدی نیز می‌توان استفاده نمود.

ساختار این مقاله به نحوی است که در ابتدا به معرفی کدهای بلوکی و کد توربو ضربی دوبعدی و کد توربو ضربی سه‌بعدی (بدون محدودیت در ابعاد) پرداخته شده و سپس روش‌های شناسایی کور بیان می‌شود. روش‌های GCD^3 و $RREF^4$ توضیح و باهم مقایسه می‌شوند. همچنین دو روش برای شناسایی جایگردان ماتریسی بیان و مقایسه شده است. روش‌های ارائه شده قادر به تشخیص چندجمله‌ای مولد و پارامترهای کد (طول کد و طول پیام) و عمق جایگردان هستند.

سایر بخش‌های این مقاله از ساختار زیر تبعیت می‌کند. در این مقاله در بخش ۲ به معرفی روش‌های شناسایی کور کدهای بلوکی می‌پردازیم. در بخش ۳ به معرفی جایگردان و شناسایی کور آن پرداخته شده است. در بخش ۴ روش‌های GCD و $RREF$ باهم مقایسه شده و عملکرد موردبررسی و تحلیل قرار خواهند گرفت. نهایتاً، در بخش ۵، روش

^۱ [۵] همانند روش رنک

^۲ ، روش ریشه GCD همانند روش

^۳ The greatest common divisor

^۴ 4 Reduced Row-Echelon Form

^۵ Convolutional

^۶ Cross - Correlation

ریشه‌های یک چندجمله‌ای مقادیری هستند که چندجمله‌ای موردنظر به ازای آن‌ها برابر صفر خواهد شد. این ریشه‌ها متناسب با میدانی که در آن به‌دست می‌آیند، ممکن است تغییر کنند [۲۰]. در هنگام استفاده از ریشه باید فرضیات زیر را در نظر بگیریم:

(۱) ساختار تعیین شود.

(۲) طول کد باید قبلاً مشخص شده باشد.

(۳) وجود هم‌زمانی لازم است.

شناسایی کور یک کد باینری $BCH(n, k)$ در تعیین این سه پارامتر خلاصه می‌شود: طول بلوک n ، طول کلمه پیام k و چندجمله‌ای مولد $g(x)$ ؛ اما چون درجه $g(x)$ برابر $n - k$ است، بنابراین با به‌دست آمدن n و $g(x)$ ، k نیز خودبه‌خود به‌دست می‌آید که در ادامه ابتدا به شناسایی طول بلوک و چندجمله‌ای مولد $g(x)$ پرداخته خواهد شد. برای شناسایی فرض شده که طول فریم f_l مشخص و در حالت هم‌زمانی^۴ است. از آنجاکه طول فریم f_l مشخص است و همچنین حداقل دو کلمه کد در یک فریم موجود است [۱۵]، نتیجه‌های زیر به دست خواهد آمد

$$(1) f_l \text{ بر } n \text{ بخش‌پذیر است } (n|f_l).$$

$$(2) n \in \left[3, \left\lfloor \frac{f_l}{2} \right\rfloor\right] \text{ است.}$$

از خاصیت ۱ نتیجه می‌شود که طول بلوک یکی از عامل‌های f_l است، البته یکتا نیست. فرض شود که i عاملی از f_l باشد، بنابراین دو حالت پیش می‌آید:

در حالتی که $n = i$ ؛ اگر i طول بلوک در نظر گرفته شود،

$N_i = \frac{f_l}{i}$ کلمه کد به‌دست می‌آید. فرض شود $C_p(x)$ چندجمله‌ای کد متناظر با p امین کلمه کد باشد. متناظر با $C_p(x)$ ، تعداد j چندجمله‌ای کد $C_{p1}(x), C_{p2}(x), \dots, C_{pj}(x)$ به‌دست می‌آید که $C_{pj}(x)$ چرخش یافته گردشی $C_p(x)$ به‌اندازه j برابر $(1 \leq j \leq i-1)$ است.

با توجه به خاصیت گردشی این کد، اگر در C_p خطایی نباشد، کلمه کدهای متناظر با $C_{p1}(x), C_{p2}(x), \dots, C_{pj}(x)$ و همچنین $C_p(x)$ نیز متعلق به مجموعه کلمه کد با چندجمله‌ای مولد یکسان هستند. با توجه به خاصیت ۲، یک عامل مشترک بین $C_{p1}(x), C_{p2}(x), \dots, C_{pj}(x)$ وجود خواهد داشت [۱۲]. اگر $C_{p0}(x) = C_p(x)$

مرتبه یک ماتریس نشان‌دهنده تعداد سطرها یا ستون‌های مستقل خطی آن ماتریس است. روش‌های مختلفی برای محاسبه مرتبه یک ماتریس وجود دارد. همچنین مرتبه ماتریس در فضای میدان متناهی $GF(2)$ محاسبه می‌گردد [۵]. در صورتی که هیچ‌کدام از سطرها یا ستون‌های یک ماتریس ترکیبی خطی از سطرها یا ستون‌های دیگر آن ماتریس نباشد، گفته می‌شود آن ماتریس دارای «مرتبه کامل»^۱ است. چنانچه نموداری از مقادیر این ضریب (رتبه ماتریس / طول بلوک) برحسب طول بلوک رسم شود در مقادیر n نمودار دارای مقادیر ثابت کمتر از یک بوده و در سایر نقاط برابر یک است. با ضرب n به‌دست‌آمده از این نمودار در مقدار نمودار ازای n می‌توان k (طول کلمه پیام) را به‌دست آورد. در استفاده از روش رتبه ماتریس، فرض می‌شود بیت‌ها در عبور از کانال دچار خطا نشده باشند، در غیر این صورت خروجی این روش چندان معتبر نخواهند بود. مرتبه ماتریس را نسبت به ماتریس با مرتبه کامل بیان نمود [۶].

$$Proportional Rank(m) = \frac{Observed Rank(m)}{Full Rank(m)} \quad (2)$$

در این رابطه رتبه ماتریس^۲ (m) مرتبه محاسبه‌شده برای ماتریس m و مرتبه کامل m مقدار مرتبه ماتریس در صورتی که مرتبه آن کامل باشد را نشان می‌دهد. در این حالت مرتبه نسبی ماتریس^۳ m همواره عددی بین صفر تا یک خواهد بود. تحت فرضیه واقع‌بینانه که $C(n_e, d_e)$ شبیه به یک ماتریس باینری تصادفی رفتار کند هنگامی که $n_e \neq n$ خواهیم داشت [۵، ۱۳ و ۱۴]:

$$\frac{k}{n} = \frac{rk(C(n,d))}{n} \leq \frac{rk(C(n,d_e))}{n} \leq \frac{rk(C(n_e,d_e))}{n_e} = 1 \quad (3)$$

برای $n_e \neq n \forall d_e$ احتمال نزدیک به یک است. تخمین $p(n_e, d_e)$ و H با استفاده از $\tilde{C}(n_e, d_e)$ می‌تواند به‌وسیله‌ی جستجوی کلمه کد وزنی همینگ کوچک در کد تولیدشده توسط ستون‌های ماتریس مرتبه به‌دست آید [۱۴-۱۸]. هنگامی که کانال کامل هست، یک فرآیند حذف گاوس ساده، مسئله را حل می‌کند اگر یک عدد صحیح غیر صفر را با α مشخص کنیم. [۱۹]. در این حالت داریم:

$$p(n_e, d_e) = \begin{cases} 1 & \text{if } n_e \neq an \\ k/n \leq 0 \leq 1 & \text{if } n_e = an \text{ and } d_e \neq d, \\ k/n & \text{if } n_e = an \text{ and } d_e = d. \end{cases} \quad (4)$$

به‌منظور نتیجه‌گیری از معرفی مقیاس مرتبه برای کدهای بلوکی خطی، متذکر می‌شویم که معادله (۵) نرخ کد است [۱۴].

$$\lim_{\alpha \rightarrow \infty} \rho(\alpha n, d) = k/n \quad (5)$$

3 Proportional Rank(m)

4 Synchron

1 Full Rank

2 Observed Rank

$$\gcd[c_{p0}(x), c_p(x), c_{p1}(x), c_{p2}(x), \dots, c_{pj}(x)] \neq 1 \quad (6)$$

کلمه کدی که در رابطه ۶ صدق کند یک کلمه کد معتبر گفته می‌شود. فرض شود که در کل فریم تعداد N_{ic} کلمه کد معتبر وجود دارد. واضح است که اگر کانال خطا نداشته باشد، $N_{ic} = N_i$ است. نسبت تعداد کلمه کدهای معتبر به کل کلمه کدها را f_{ic} می‌نامند [۱۷]. (در حالت بدون خطا $f_{ic} = 1$ است).

$$f_{ic} = \frac{N_{ic}}{N_i} \quad (7)$$

در حالتی که $i \neq n$ باشد، اگر i به‌عنوان طول بلوک در نظر گرفته شود، بلوک‌بندی کلمات کد صحیح نبوده و اگر کل کلمات کد به‌دست‌آمده برابر N_i باشد، کلمات کد معتبر که در رابطه ۷ صدق می‌کند کمتر از این تعداد خواهد بود ($N_{ic} < N_i$) که مطابق [۱۶] خواهیم داشت:

$$f_{ic} = \frac{N_{ic}}{N_i} < 1 \quad (8)$$

حالت کلی این است که اگر فرض شود خطای کانال وجود ندارد، اگر $i = n$ باشد $f_{ic} = 1$ و اگر $i \neq n$ باشد، $f_{ic} < 1$ است [۱۶]. در حالت وجود خطای کانال، f_{ic} کمتر از ۱ می‌شود اما می‌توان پیش‌بینی نمود که f_{ic} حداکثر مقدار خود را در حالت $i = n$ می‌گیرد [۱۸].

$$n = \operatorname{argmax}_i (f_{ic})$$

$$i \in [3, \lfloor \frac{L}{2} \rfloor]$$

$$\operatorname{rem}(i, 2) = 1$$

$$\operatorname{rem}(f_{i,i}) = 0 \quad (9)$$

که $\operatorname{rem}(f_i, i)$ باقیمانده تقسیم f_i بر i است. هر چه مقدار j (تعداد نوبت‌های گردشی) و N_i بیشتر باشد، دقت تخمین طول بلوک بیشتر می‌شود.

۳- معرفی روش شناسایی جایگردان

نویزهایی که اغلب با آن‌ها برخورد می‌کنیم دودسته می‌باشند:

(۱) نویز با توزیع گوسی

(۲) نویز رشته‌ای یا قطاری^۱

کدهای کانال طوری طراحی شده‌اند که به قدرت تشخیص و اصلاح نویز با توزیع گوسی را می‌دهند. درواقع سیستم تشخیص و تصحیح خطا، زمانی درست عمل می‌کند که خطای رخ داده از نوع تصادفی و با توزیع گوسی یا نقطه‌ای باشد، در غیر این صورت چنانچه خطای رخ داده

به‌صورت قطاری (خطای پیوسته) باشد این سیستم قادر به شناسایی و اصلاح آن نخواهد بود [۱۴]. بنابراین برای مقابله با این‌گونه خطاها، از روشی استفاده می‌کنیم که در صورت بروز خطای قطاری بتوان آن را تقسیم کرده و درون چندین کلمه کد قرارداد. با این روش می‌توانیم خطای قطاری ایجادشده را تشخیص و سپس اصلاح نماییم. همان‌طور که گفته شد کدهای بلوکی و کانولوشنال نمی‌توانند خطای قطاری را اصلاح کنند حتی اگر تعداد بیت‌ها یا سمبل‌های دارای خطا در حالتی که خطای قطاری باشد با تعداد بیت‌ها و سمبل‌های دارای خطا در حالتی که خطا به‌صورت پراکنده باشد، برابر باشد. به همین خاطر از جایگردان استفاده می‌شود. پس کاربرد جایگردان افزایش قدرت اصلاح خطای رشته‌ای است و نحو عملکرد به این صورت است که خطای قطاری را در طول سیگنال توزیع می‌کند لذا با کدینگ کانال می‌توان آن را اصلاح کرد و هیچ افزونگی اضافی به‌کاربرده نمی‌شود. باید به این نکته توجه کرد که جایگردان بدون کدینگ معنی ندارد و اگر جایگردان باشد حتماً کدینگ هم هست. پس در فرستنده ابتدا کدگذاری و سپس جایگردان روی دیتا اعمال می‌شود.

۳-۱- تشخیص جایگردان بلوکی

برای تشخیص جایگردان بلوکی، ابتدا با استفاده از روش مرتبه بهبودیافته ماتریس مولد دوگان مربوطه‌ی کل جایگردان را پیدا می‌کنیم. سپس با توجه به طول جایگردان عکس جای‌گردان‌های مذکور را تک‌تک اعمال کرده و ماتریس مولد دوگان را ساده می‌کنیم. با توجه به اینکه در کدها بیت‌های وابسته خطی به هم در کنار هم هستند تصمیم‌گیری می‌کنیم. باید توجه داشت که حتی اگر فرض کنیم که کد بلوکی است، از آنجایی که ممکن است ورودی کد بلوکی خود کدی دیگر باشد، نمی‌توان با استفاده از این فرض بلوک‌ها را به‌صورت جدا از هم تشخیص داد و متعاقباً نمی‌توان میزان محاسبات مربوطه به هر آزمون جای‌گردان‌های بهینه را کمتر کرد. یعنی باید در تمامی موارد از خود ماتریس مولد دوگان به‌دست‌آمده برای ساده‌سازی استفاده کنیم و نمی‌توانیم با تشخیص بلوک‌ها و مکان آن‌ها نوع جایگردان را حدس بزنیم.

۳-۲- جایگردان ماتریسی

در این جایگردان جابجایی بیت‌ها یا دسته بیت‌ها (در صورت m تایی (M-arry)) در ماتریسی به‌صورت سطری نوشته‌شده و در انتها به‌صورت ستونی بازبایی می‌شود. چنین روشی باعث جابجا شدن بیت‌ها در ترتیب ارسال می‌گردد. واضح است که تنها پارامترهای جایگردان تعداد ستون‌ها و سطرها می‌باشد.

۳-۳- جایگردان قطری و ماریچی

در این جایگردان ابتدا به فرم ماتریسی داده‌ها در ماتریسی ذخیره می‌شوند سپس به‌صورت قطری یا ماریچی بازبایی می‌شوند که اگر

^۱ Bust error

تعداد حرکت‌ها در ستون در هر گام بیشتر شود جایگردان مارپیچی با گام مربوطه به‌دست می‌آید.

۴- کدهای توربو ضربی

به خاطر محدودیت‌های موجود در ارتباطات نظیر حد شانن^۱، لازم است که کدهای طولانی داشته تا کدهای بلوکی با حداقل فاصله همینگ^۲ (MHD) و قابلیت تصحیح خطا بالا را به‌دست آورد، اما بدون یک ساختار خاص، کدگشایی این کدها تقریباً غیرممکن است [۱۲]. اختراع کدهای ضربی (محصول)، توسط الیاس^۳، صورت گرفت که هدف این کدها پیدا کردن یک‌راه ساده برای به‌دست آوردن کدهای تصحیح خطای با قابلیت بالا که بتوان به‌راحتی با کدهای ساده و ابتدایی کدگشایی شوند، بود. با ساختار هم‌گشت^۴، از لحاظ تئوری ساخت کدهای با MHD بالا ممکن است. با این حال، پیچیدگی مانع کدگشایی حتی برای کدهای با ساختار جبری، مانند کدهای ریدسالمون^۵ یا کدهای BCH^۶ می‌شود. ساختار کدهای ضربی اجازه می‌دهد تا این مشکل را با استفاده از کدهای ساده با قابلیت اصلاح کم، ولی کدگشایی با هزینه کمتر حل کرد [۶]. این کدهای در حالت‌های دوبعدی و سه‌بعدی ارائه شده‌اند.

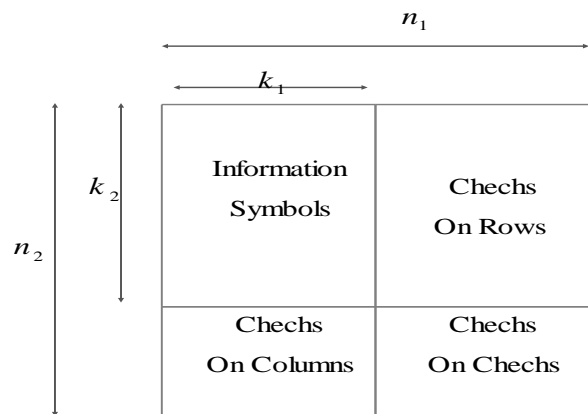
۴-۱- ساختار کدگذاری کدهای توربو ضربی دوبعدی و سه‌بعدی

سه‌بعدی

فرض کنید C_1 (C_2) یک کد خطی به طول n_1 (n_2) و با ابعاد k_1 (k_2) باشد کد ضربی $C = C_1 \otimes C_2$ مجموعه‌ای از ماتریس M با اندازه $n_1 \times n_2$ به‌طوری که:

- (۱) هر ردیف یک کلمه کد از C_1 است.
- (۲) هر ستون یک کلمه کد از C_2 است.

مطابق شکل ۱ این کد یک کد خطی طول $n_1 \times n_2$ و با ابعاد $k_1 \times k_2$ است.



شکل ۱- ساختار کدگذاری توربو ضربی دوبعدی [۱۶].

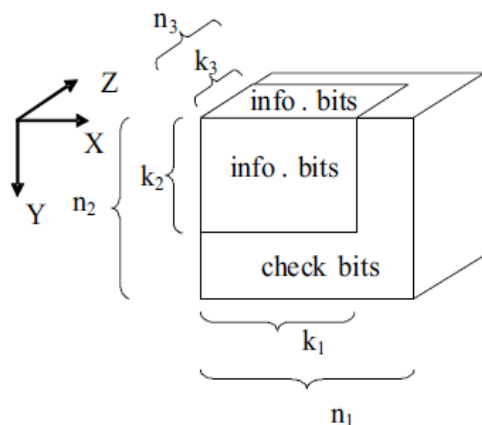
حال با فرض اینکه C_1 (C_2) (C_3) یک کد خطی به طول n_1 (n_2)

(n_3) و با ابعاد k_1 (k_2) (k_3) باشد کد ضربی $C = C_1 \otimes C_2 \otimes C_3$ مجموعه‌ای از ماتریس M با اندازه $n_1 \times n_2 \times n_3$ به‌طوری که:

- (۱) هر ردیف یک کلمه کد از C_1 است.
- (۲) هر ستون یک کلمه کد از C_2 است.
- (۳) هر قطر یک کلمه کد از C_3 است.

همانطور که در شکل ۲ دیده می‌شود این کد یک کد خطی طول

$n_1 \times n_2 \times n_3$ و با ابعاد $k_1 \times k_2 \times k_3$ است.



شکل ۲- ساختار کدگذاری توربو ضربی سه‌بعدی [۱۸].

۵- روش پیشنهادی برای توربو کد ضربی ۳ بعدی

در روش شناسایی کور کدهای توربو ضربی سه‌بعدی همانطور که در شکل ۳ دیده می‌شود، ابتدا قاب کد (فریمینگ) را از روش خودهمبستگی یا رنک تشخیص می‌دهیم و بعد از حذف هدر طول کد ارسالی به‌دست می‌آید. طول کد ارسالی برابر $(n_1 \times n_2 \times n_3)$ یا ضرایب آن است. با استفاده از روش GCD و RREF کد بلوکی (n_1, k_1) شناسایی می‌شود. عمق جایگردان اول k_1 است. با تقسیم طول کد ارسالی بر n_1 و به‌دست آوردن فاکتورهای اول آن می‌توان ستون جایگردان اول را شناسایی کرد، که برابر n_2 یا ضریبی از آن است. حال کد بلوکی دوم (n_2, k_2) شناسایی می‌شود. عمق جایگردان دوم برابر $k_2 \times k_1$ حال با تقسیم طول کد ارسالی بر $n_1 \times n_2$ می‌توان ستون جایگردان دوم n_3 را به‌دست آورد و کد بلوکی (n_3, k_3) شناسایی می‌شود. با دو جایگردان به ترتیب $(k_1 \times k_2, k_3)$ و (k_1, k_2) داده به حالت قبل از جایگردان $(k_1 \times n_2)$ برمی‌گردد. در این روش شناسایی مربعی بودن کدها مدنظر نیست به‌عنوان نمونه می‌توان کد بلوکی سوم را کد پریته تعریف کنیم که بعد از شناسایی دو کد بلوکی از روش RREF می‌توان کد پریته را شناسایی کرد.

⁵ Reed-Solomon

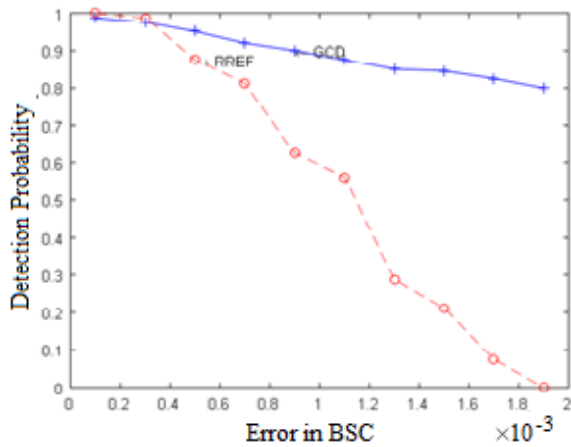
⁶ Bose-Chaudhuri-Hocquenghem codes

¹ Claude Elwood Shannon

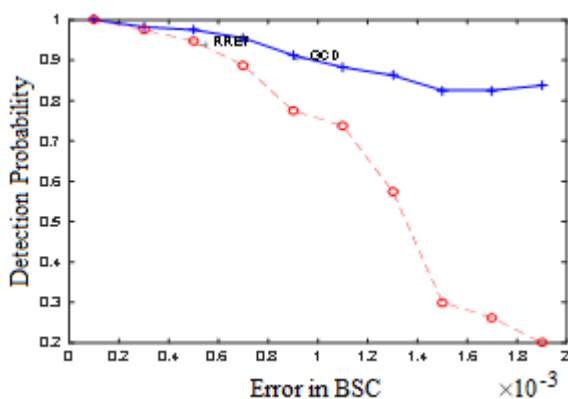
² Minimum Hamming Distance

³ Elias

⁴ Convolution



شکل ۴- مقایسه روش GCD و روش رنک سریع RREF برای کد BCH(63-57)



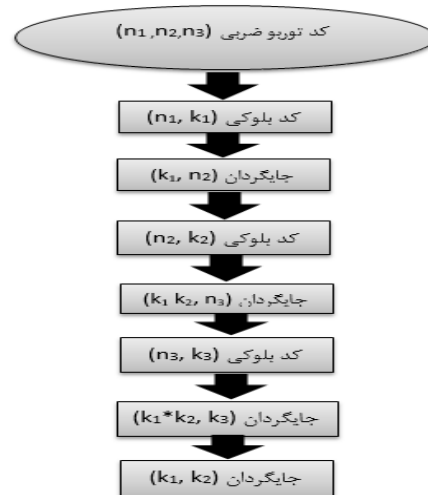
شکل ۵- مقایسه روش GCD و روش رنک سریع RREF برای کد BCH(63-57-7)

همان طور که در شکل (۵) مشاهده می‌شود، شبیه‌سازی‌ها برای یک کد BCH با ۷ بیت کوتاه شدگی انجام گرفته است. روش GCD نسبت به روش RREF عملکرد بهتری دارد. روش RREF برای شناسایی کدهای دارای کوتاه شدگی عملکرد بهتری نسبت به کدهای بدون کوتاه شدگی دارد. در میزان خطای $p_e = 0.001$ روش RREF ۷۵٪ و روش GCD ۹۰٪ کدها را شناسایی کرده‌اند. برای مقایسه سرعت تشخیص دو روش زمان متوسط شناسایی الگوریتم‌ها به ازای ۱۰۰۰ مرتبه تکرار برای مقدار خطا ۰.۰۰۱۹ در جدول (۱) آورده شده است. همان طور که ملاحظه می‌شود مقدار زمان محاسبه روش RREF کمتر است.

جدول ۱- مقایسه زمانی دو روش شناسایی برای کد BCH(63-57-7)

الگوریتم	متوسط زمان
GCD	۰.۸۲۶۱ sec
RREF	۰.۶۴۴۲ sec

در جدول (۲) دو روش GCD و RREF با مقدار تأخیر مختلف برای کد BCH(63-57) و مقدار ۷ بیت کوتاه شدگی باهم مقایسه شده است. همان طور که ملاحظه می‌شود، روش GCD به میزان تأخیر بسیار



شکل ۳- روش کدگذاری کدهای توربو ضریبی سه‌بعدی [۱۸].

برای مثال با فرض اینکه طول کد برابر ۴۰۹۶ (ارسالی ماهواره باند X) که برابر $(n_1 \times n_2 \times n_3)$ ابتدا با روش RREF مقدار تأخیر را در صورت وجود به دست می‌آید، به وسیله روش GCD کد BCH(31,26) با یک بیت افزودگی را شناسایی می‌کنیم (یعنی یک بیت پریتی زوج به انتهای تمام کلمات کد اضافه می‌نماید). حال با توجه به $26k_1 =$ عمق جایگردان به دست آورده‌ایم با تقسیم ۴۰۹۶ بر طول n_1 ضریبی از تعداد ستون‌ها را به دست می‌آید. حال فاکتورهای اول ضریب به دست آمده از تقسیم مرحله ۳ به دست می‌آید، با این اعداد به دنبال شناسایی کد چرخشی دوم به صورت جستجو و آزمون می‌گردیم به وسیله روش GCD کد BCH(31,26) با یک بیت افزودگی را شناسایی می‌کنیم. حال با توجه به $676k_1 \times k_2 =$ عمق جایگردان دوم را به دست آورده‌ایم با تقسیم ۴۰۹۶ بر طول $n_1 \times n_2$ تعداد ستون‌های جایگردان دوم که برابر n_3 را به دست می‌آید، حالا کد سوم را شناسایی می‌کنیم Parity(4,3) حال با دو جایگردان عمق $k_1 \times k_2$ و تعداد ستون k_3 و جایگردان به عمق k_1 و تعداد ستون k_2 داده را به حالات صحیح مرتب می‌شود.

۶- مقایسه روش‌های شناسایی GCD و RREF برای

توربو کد ضریبی

در این شبیه‌سازی نمودار شناسایی دو الگوریتم GCD و RREF مختلف برای کد BCH(63,57) در دامنه جستجوی $N_{min} = 35$, $N_{max} = 80$ که برای هر مقدار، نویز کانال باینری متقارن، هزار مرتبه تکرار شده و مقدار موفقیت در شناسایی، اندازه‌گیری و ترسیم شده است. در این شبیه‌سازی داده بدون تأخیر است. شبیه‌سازی تمامی شرایط همانند فوق بوده با این تفاوت که از یک کد BCH(63,57) با ۷ بیت کوتاه شدگی استفاده شده تا شرایط کدهای کوتاه شده تک‌بعدی و یا کدهای توربو ضریبی غیر مربعی نیز مورد بررسی قرار گیرد.

- (۱) پاسخ GCD هر زمان که از کانالی با تأخیر استفاده شود، اشتباه خواهد بود.
- (۲) با روش RREF می‌توان پس از به‌دست آوردن تخمینی از طول کد، تخمینی از مقدار تأخیر نیز به‌دست آورد.
- (۳) برای آشکارسازی کور ابتدا روش RREF را اعمال نموده و پس از به‌دست آوردن تأخیر و حذف آن، از روش GCD استفاده شود.
- (۴) در الگوریتم RREF یک مقدار آستانه برای تفکیک ستون‌های مستقل از وابسته وجود دارد که با کوچک در نظر گرفتن آن توانایی الگوریتم در تشخیص کدهایی با نرخ کم افزایش خواهد یافت.
- (۵) با کاهش مقدار آستانه، قدرت الگوریتم در برابر احتمال خطاهای بالا کاهش خواهد یافت.
- (۶) با توجه به مشاهدات به ازای نرخ کدهای پایین، مقدار آستانه باید پایین باشد اما به ازای نرخ کدهای بالا مقدار آستانه باید زیاد در نظر گرفته شود.

۸-مراجع

- [1] E. Yoon, S. Kwon and S. Y. Kim, "An Efficient Application of Turbo Coding for OFDM In-Phase/Quadrature Index Modulation," in IEEE Access, vol. 11, pp. 37031-37040, 2023, doi: 10.1109/ACCESS.2023.3266288.
- [2] C. Berrou, "The Invention of Turbo Codes: The Ten-Year-Old Turbo Codes are Entering into Service," in IEEE Communications Magazine, vol. 61, no. 2, pp. 6-13, February 2023, doi: 10.1109/MCOM.2023.10048673.
- [3] Y. Hama and H. Ochiai, "Binary-Input Ternary-Output Turbo Codes for Ternary PSK Transmission," in IEEE Communications Letters, vol. 26, no. 9, pp. 1974-1978, Sept. 2022, doi: 10.1109/LCOMM.2022.3185652.
- [4] M. Lafci and Ö. Ertuğ, "Performance Optimization of 6LoWPAN Systems for RF AMR System Using Turbo and LDPC Codes," 2022 29th International Conference on Systems, Signals and Image Processing (IWSSIP), Sofia, Bulgaria, 2022, pp. 1-4, doi: 10.1109/IWSSIP55020.2022.9854500.
- [5] M. A. Khalighi and M. Uysal, "Survey on Free Space Optical Communication: A Communication Theory Perspective," IEEE Commun. Surveys & Tutorials, vol. 16, no. 4, pp. 2231-2258, fourth quarter 2014.
- [6] S. Hranilovic, "Wireless Optical Communication Systems". Springer, 2006.
- [7] L. Can, Z. Tian-qi, and L. Yu, "Blind Recognition of RS Codes Based on Galois Field Columns Gaussian Elimination," Telecommunication Engineering, vol. 54, 2014.
- [8] M. Cluzeau, "Block Code Reconstruction Using Iterative Decoding Techniques," In IEEE Conference Seattle, USA, ISIT'06, pp. 2269-2273, 2006.
- [9] C. -Y. Wei and C. -C. Chen, "Cube-Based Multitarget 3D Localization Using Bayesian Learning-Based Turbo Decoding in Wireless Sensor Networks," in IEEE Sensors Journal, vol. 22, no. 17, pp. 17291-17306, 1 Sept.1, 2022, doi: 10.1109/JSEN.2022.3193021.
- [10] Z. Liu, R. Liu, H. Zhang, N. Wang, L. Sun and J. Wang, "Parallel implementation of the CCSDS turbo decoder on

حساس بوده و نمی‌تواند هیچ‌گونه شناسایی در داده بدون همزمان‌سازی انجام دهد.

جدول ۲- مقایسه روش GCD و RREF در تشخیص تأخیر در کد

BCH(63,57,7)		
BCH(63,57,7)	روش GCD	روش RREF
BCH(63,57,7), D=1	-	✓
BCH(63,57,7), D=3	-	✓
BCH(63,57,7), D=5	-	✓
BCH(63,57,7), D=7	-	✓
BCH(63,57,7), D=6	-	✓
BCH(63,57,7), D=14	-	✓

در جدول (۳) دو روش شناسایی کور کد کانال ارائه شده که هر کدام مزایا و معایبی برخوردار می‌باشند. مهم‌ترین پارامترها در شناسایی کور دقت بالا و حجم محاسبات پایین است. همان‌طور که در جدول مشاهده می‌شود این دو روش در ۶ شش پارامتر باهم مقایسه شده‌اند. بسته به کاربرد می‌توان بهترین روش را شناسایی نمود.

جدول ۴- مقایسه روش GCD و RREF از نظر ویژگی‌ها

RREF	GCD	روش‌های شناسایی کور
ندارد	دارد	نیاز به طول کد
ندارد	دارد	نیاز به هم‌زمانی
n^2	کم	حجم داده
بالا	ندارد	حساسیت به نویز
زیاد	بسیار زیاد	حجم محاسبات
نه	پله	تعیین ساختار

۷-نتیجه‌گیری

نتایج شبیه‌سازی نشان می‌دهد، از روش رتبه ماتریس فقط طول کد و طول پیام به‌دست می‌آید اما در روش GCD علاوه بر استخراج مشخصات کلی کد، می‌توان چندجمله‌ای مولد کد توربو ضربی را نیز به‌دست آورد. در این مقاله دو روش شناسایی کور کدهای توربو ضربی ارائه شده است، در روش الگوریتم GCD چندجمله‌ای‌های مولد کد توربو ضربی شناسایی شده و بر اساس آن پارامترهای مربوط به کد توربو ضربی استخراج شده‌اند. در روش رتبه ماتریس (RREF) ارائه شده است که در آن به شناسایی کور کدهای توربو ضربی سه‌بعدی پرداخته و سپس پارامترهای آن (طول کد، نرخ کد و طول پیام) استخراج می‌شوند.

نتایج ارزیابی نشان می‌دهد الگوریتم GCD می‌تواند به‌صورت صحیح به شناسایی کد توربو ضربی با احتمال خطای 10^{-7} و کمتر از آن اقدام نماید و در نتیجه عملکرد این الگوریتم بر اساس BER نشان داده شده بسیار مطلوب است و به‌کارگیری این الگوریتم در سامانه‌های عملی و بلادرنگ مناسب است.

از شبیه‌سازی‌های صورت گرفته می‌توان نتیجه گرفت:

- [17] J. Wang, Y. Yue, and J. Yao, "A Method of Blind Recognition of Cyclic Code Generator Polynomial," In *Wireless Communications Networking and Mobile Computing (WiCOM)*, 6th International Conference on Sichuan Mianyang, China ,pp. 1-4, 2010.
- [18] W. Lei, H. Yihua, H. Shiqi, and Q. Lin, "The Method of Estimating The Length of Linear Cyclic Code Based on The Distribution of Code Weight," In *Information Science and Engineering (ICISE)*, 2nd International Conference on Hefei, China, pp. 2459-2462, 2010.
- [19] A.U. Mustafa and G. Murtaza, "Synthesis by Analysis of BCH Codes" arXiv preprint arXiv: 1210.7906, 2012.
- [20] N. Wen, X. Yang, "Recognition methods of BCH codes" *Electron. Warf.* 6, 30–34, 2010.
- [21] Hashemi SM, Barati S, Talati S, Noori H. "A genetic algorithm approach to optimal placement of switching and protective equipment on a distribution network." *J Eng Appl Sci* 2016; 11: 1395-1400.
- [22] Sicot, Guillaume, Sebastien Houcke, and Johann Barbier. "Blind detection of interleaver parameters." 2009. GPU," in *China Communications*, doi: 10.23919/JCC.2023.00.101.
- [11] W. Lei, H. Yihua, H. Shiqi, and Q. Lin, "The Method of Estimating The Length of Linear Cyclic Code Based on The Distribution of Code Weight," In *Information Science and Engineering (ICISE)*, 2nd International Conference on Hefei, China, pp. 2459-2462, 2010.
- [12] C. Berrou, "Codes and Turbo" (J. Ormrod, Trans). Springer-Verlag France, Paris: Telecom Bretagne. 2010.
- [13] R.M. Larsson, "Fast Scheme for Blind Identification of Channel Codes" IEEE. 2011.
- [14] R. Moosavi and E. G. Larsson, "A Fast Scheme for Blind Identification of Channel Codes," in *54th Annual IEEE Global Telecommunications Conference,(GLOBECOM)*; Houston, TX; United States, pp. 1-5, 2011.
- [15] J. Barbier and J. Letessier, "Forward Error Correcting Codes Characterization Based on Rank Properties," In *Wireless Communications & Signal Processing. International Conference on Bruz Cedex, France*, pp. 1-5, 2009.
- [16] T. Li, C. L. Miao, and J. Lv, "An Improved Algorithm of RS Codes Blind Recognition," In *Applied Mechanics and Materials* ,pp. 2308-2312 ,2014.